

ВЛИЯНИЕ РАЗМЕРА МАКРОЧАСТИЦ НА ИХ ЭЛЕКТРОСТАТИЧЕСКОЕ ВЗАИМОДЕЙСТВИЕ В ПЛАЗМЕ

*А. В. Филиппов**

*ГНЦ РФ Троицкий институт инновационных и термоядерных исследований
142190, Троицк, Московская обл., Россия*

Поступила в редакцию 7 апреля 2009 г.

Рассмотрено электростатическое взаимодействие двух сферических макрочастиц в плазме. Основное внимание уделено изучению взаимодействия на малых расстояниях, когда на передний план выходят эффекты поляризации поверхностного заряда макрочастиц конечного размера. В первой части исследовано взаимодействие точечного заряда с проводящей сферой в равновесной плазме. Показано, что присутствие плазмы приводит к снижению потенциального барьера при сближении двух одноименно заряженных макрочастиц и это снижение оказывается наиболее существенным в случае, когда радиус макрочастицы сравним с дебаевским радиусом экранирования. Во второй части проведено исследование взаимодействия двух проводящих сфер в бисферической системе координат в предположении постоянства их зарядов и в предположении постоянства их поверхностных потенциалов. Второй случай более близок к физике электростатического взаимодействия двух макрочастиц в плазменной среде, в которой электростатический потенциал их поверхности определяется плавающим потенциалом плазмы. Показано, что потенциалы взаимодействия в этих двух случаях сильно различаются, причем в случае постоянных зарядов энергия электростатического поля является потенциалом взаимодействия, а в случае макрочастиц с постоянными, независимыми от межчастичного расстояния потенциалами поверхности — нет. В последнем случае необходим учет работы внешних источников по поддержанию потенциалов макрочастиц постоянными. В результате рассмотрения силы взаимодействия на основе максвелловского тензора натяжений установлен вид потенциала взаимодействия и для этого случая. В третьей части взаимодействие двух макрочастиц рассмотрено в сферической системе координат и получены аналитические выражения для потенциалов взаимодействия как для случая постоянных зарядов, так и случая постоянных потенциалов поверхности.

PACS: 52.27.Lw, 41.20.Cv

1. ВВЕДЕНИЕ

Условия фазовых переходов, частоты пылеакустических колебаний, коэффициенты переноса пылевых частиц и т. д. в пылевой плазме определяются потенциалом взаимодействия заряженных пылевых частиц [1, 2]. Потенциал также необходим при численном моделировании свойств пылевой плазмы методами молекулярной динамики. Эксперименты показывают, что на расстояниях, превышающих радиус экранирования, потенциал взаимодействия имеет вид потенциала Юкавы [3–5], причем радиус экранирования близок к дебаевскому электронному радиусу. При исследовании процессов коагуляции и агло-

мерации пылевых частиц важное значение имеет потенциал взаимодействия на малых расстояниях. В этом случае необходим учет размера частиц и связанной с этим поляризации поверхностного заряда [6, 7]. В настоящей работе эта задача в первой части решается на примере взаимодействия точечного заряда с заряженной проводящей сферой в равновесной плазме. Оказалось, что конечный размер частицы в плазме сказывается, главным образом, на величине заряда сферического тела (приводит к перенормировке заряда), а на малых расстояниях влияние плазмы невелико, поэтому во второй части рассмотрено взаимодействие двух пылевых частиц конечного размера без учета эффектов экранирования. В третьей части получены аналитические выражения для потенциала взаимодействия как при условии по-

*E-mail: fav@triniti.ru

стоянства зарядов макрочастиц, так и при условии постоянства их поверхностных потенциалов.

2. ВЗАИМОДЕЙСТВИЕ МАКРОЧАСТИЦЫ КОНЕЧНОГО РАЗМЕРА С ТОЧЕЧНЫМ ЗАРЯДОМ

Рассмотрим влияние размера на взаимодействие макрочастиц в плазме на примере двух макрочастиц, первая из которых имеет радиус a_1 и является проводником, а вторая имеет такой малый радиус, что ее можно рассматривать как точечную. Самосогласованный потенциал макрочастиц и плазмы будем искать на основе линеаризованного уравнения Пуассона – Больцмана [8]:

$$\Delta\phi - k_D^2\phi = 0, \quad (1)$$

где $k_D = \sqrt{8\pi e^2 n_0 / T}$ – дебаевская постоянная экранирования, T – температура электронов и ионов в энергетических единицах, e – абсолютное значение заряда электрона, n_0 – концентрация электронов и ионов в невозмущенной плазме. Уравнение (1) получено в предположении, что $e\phi/T \ll 1$, поэтому применимо только в случае, когда можно пренебречь корреляциями в положении электронов и ионов. Вследствие линейности рассматриваемой задачи, суммарный потенциал можно представить в виде $\phi = \phi_1 + \phi_2$ как суперпозицию потенциалов систем зарядов, связанных с каждой из макрочастиц. В равновесной плазме потенциал точечной макрочастицы является дебаевским [8]:

$$\phi_2(r_2) = \frac{eq_2}{r_2} \exp(-k_D r_2), \quad (2)$$

где q_2 – заряд точечной частицы в элементарных зарядах e , r_2 – расстояние из точки наблюдения до точечного заряда (см. рис. 1).

Для нахождения потенциала первой макрочастицы из уравнения (1) с учетом аксиальной симметрии задачи получим

$$\frac{1}{r^2} \frac{\partial}{\partial r} \left(r^2 \frac{\partial \phi_1}{\partial r} \right) + \frac{1}{r^2 \sin \theta} \frac{\partial}{\partial \theta} \left(\sin \theta \frac{\partial \phi_1}{\partial \theta} \right) - k_D^2 \phi_1 = 0. \quad (3)$$

На поверхности макрочастицы с учетом сделанного предположения об ее проводимости имеем граничные условия:

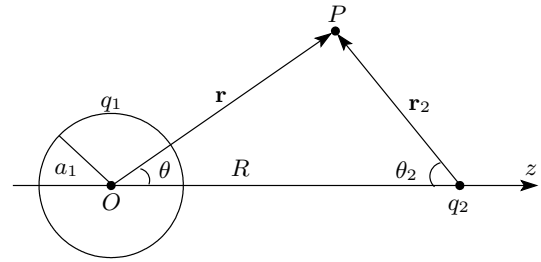


Рис. 1. Схема взаимодействия точечного заряда с макрочастицей: P – точка наблюдения, остальные обозначения см. в тексте

$$\phi(r, \theta) |_{r=a_1} = (\phi_1 + \phi_2) |_{r=a_1} = \phi_0, \quad (4)$$

$$\oint_S \sigma a_1^2 d\Omega = -\frac{1}{2} \int_0^\pi \frac{\partial \phi}{\partial r} \Big|_{r=a_1} a_1^2 \sin \theta d\theta = eq_1.$$

Здесь r, θ – радиус и полярный угол в сферической системе координат с началом в центре первой макрочастицы и осью, направленной ко второй макрочастице (см. рис. 1), σ – плотность поверхностного заряда, S – поверхность первой макрочастицы, ϕ_0 – некий постоянный потенциал макрочастицы.

Общее решение уравнения (3), обращающееся в нуль на бесконечности, имеет вид

$$\phi_1(r, \theta) = \sum_{n=0}^{\infty} A_n P_n(\cos \theta) \frac{K_{n+1/2}(k_D r)}{\sqrt{r}}, \quad (5)$$

где $K_{n+1/2}$ – модифицированные функции Бесселя третьего рода или функции Макдональда полуцелого порядка, P_n – полиномы Лежандра.

Для разложения граничных условий (4) по полиномам Лежандра воспользуемся формулой сложения Макдональда [9], которая при $r \leq R$ имеет вид

$$\frac{\exp(-\tilde{r}_2)}{\tilde{r}_2} = \sum_{n=0}^{\infty} (2n+1) P_n(\cos \theta) \times \frac{I_{n+1/2}(\tilde{r}) K_{n+1/2}(\tilde{R})}{\sqrt{\tilde{r}\tilde{R}}}, \quad (6)$$

где

$$r_2 = \sqrt{R^2 + r^2 - 2rR \cos \theta}, \quad \tilde{r}_2 = k_D r_2,$$

$$\tilde{r} = k_D r, \quad \tilde{R} = k_D R,$$

R – межчастичное расстояние, $I_{n+1/2}$ – модифицированные функции Бесселя первого рода или функции Инфельда полуцелого порядка. В итоге для коэффициентов разложения (5) находим:

$$\begin{aligned}
 A_0 &= \frac{eq_1}{\tilde{a}_1 \sqrt{a_1} K_{3/2}(\tilde{a}_1)} + \\
 &+ \frac{eq_2 K_{1/2}(\tilde{R})}{\sqrt{R}} \frac{I_{3/2}(\tilde{a}_1)}{K_{3/2}(\tilde{a}_1)}, \\
 A_n &= -(2n+1) \frac{eq_2 K_{n+1/2}(\tilde{R})}{\sqrt{R}} \times \\
 &\times \frac{I_{n+1/2}(\tilde{a}_1)}{K_{n+1/2}(\tilde{a}_1)}, \quad n \geq 1,
 \end{aligned} \tag{7}$$

где $\tilde{a}_1 = k_D a_1$. Потенциал поверхности макрочастицы определяется соотношением

$$\begin{aligned}
 \phi_0 &= \frac{eq_1}{a_1 \tilde{a}_1} \frac{K_{1/2}(\tilde{a}_1)}{K_{3/2}(\tilde{a}_1)} + \frac{eq_2}{\sqrt{a_1} R} K_{1/2}(\tilde{R}) \times \\
 &\times \left[I_{1/2}(\tilde{a}_1) + K_{1/2}(\tilde{a}_1) \frac{I_{3/2}(\tilde{a}_1)}{K_{3/2}(\tilde{a}_1)} \right]. \tag{8}
 \end{aligned}$$

Используя свойства модифицированных функций Бесселя [9], это соотношение можно преобразовать к виду

$$\phi_0 = \frac{1}{1 + k_D a_1} \left[\frac{eq_1}{a_1} + \frac{eq_2}{R} e^{-k_D(R-a_1)} \right]. \tag{9}$$

Видно, что потенциал поверхности макрочастицы при ее сближении с одноименным зарядом растет. (Отметим, что в равновесной плазме макрочастицу окружает облако с противоположным зарядом, поэтому потенциал макрочастицы в плазме оказывается ниже, чем в вакууме на множитель с дебаевской постоянной в знаменателе выражения (9).)

Для монополюсного члена в разложении потенциала по мультиполям из формул (5), (7) получим

$$\begin{aligned}
 \phi_{1,0}(r, R) &= \frac{eq_1}{(1 + \tilde{a}_1)} \frac{e^{-(\tilde{r}-\tilde{a}_1)}}{r} + \\
 &+ \frac{eq_2}{r} \frac{e^{-(\tilde{R}+\tilde{r})}}{2\tilde{R}} \left[1 - \frac{1 - \tilde{a}_1}{1 + \tilde{a}_1} e^{2\tilde{a}_1} \right]. \tag{10}
 \end{aligned}$$

Первое слагаемое в правой части — это известный потенциал Дерягина–Ландау–Фервея–Овербека (ДЛФО-потенциал), связанный с конечностью размера уединенной частицы в плазме.

Потенциал взаимодействия макрочастиц в изотермической плазме с постоянным числом электронов и ионов совпадает со свободной энергией [10], для нахождения которой сначала вычислим силу взаимодействия. Для случая одной точечной макрочастицы сила, действующая на нее, вычисляется достаточно просто:

$$F_z = eq_2 E_1 \Big|_{\theta=0}^{r=R} \equiv -eq_2 \frac{\partial \phi_1}{\partial r} \Big|_{\theta=0}^{r=R} \tag{11}$$

Используя (5) и свойства модифицированных функций Бесселя, из (11) находим, что

$$\begin{aligned}
 F_z &= eq_2 \sum_{n=0}^{\infty} \frac{A_n}{R^{3/2}} \times \\
 &\times \left[(n+1) K_{n+1/2}(\tilde{R}) + \tilde{R} K_{n-1/2}(\tilde{R}) \right]. \tag{12}
 \end{aligned}$$

Отсюда после несложных преобразований для нахождения силы взаимодействия получим

$$\begin{aligned}
 F_z &= \frac{e^2 q_1 \text{eff} q_2}{R^2} (1 + \tilde{R}) e^{-\tilde{R}} + \\
 &+ \frac{e^2 q_2^2}{R^2} (1 + \tilde{R}) K_{1/2}^2(\tilde{R}) \frac{I_{3/2}(\tilde{a}_1)}{K_{3/2}(\tilde{a}_1)} - \\
 &- \frac{e^2 q_2^2 k_D^2}{\tilde{R}} \sum_{n=1}^{\infty} \frac{I_{n+1/2}(\tilde{a}_1)}{K_{n+1/2}(\tilde{a}_1)} K_{n+1/2}(\tilde{R}) \times \\
 &\times \left[(n+1) K_{n+3/2}(\tilde{R}) + n K_{n-1/2}(\tilde{R}) \right], \tag{13}
 \end{aligned}$$

где $q_{1\text{eff}} = q_1 \exp(k_D a_1) / (1 + k_D a_1)$ — эффективный заряд макрочастицы. Интегрируя (13) по межчастичному расстоянию, для потенциала взаимодействия имеем

$$U = U_D + U_1 + U_2, \tag{14}$$

$$U_D = \frac{e^2 q_1 \text{eff} q_2}{R} e^{-\tilde{R}}, \tag{15}$$

$$\begin{aligned}
 U_1 &= \frac{e^2 q_2^2}{2R} \frac{I_{3/2}(\tilde{a}_1)}{K_{3/2}(\tilde{a}_1)} \times \\
 &\times \left[K_{1/2}^2(\tilde{R}) - 3K_{3/2}^2(\tilde{R}) \right], \tag{16}
 \end{aligned}$$

$$\begin{aligned}
 U_2 &= -\frac{e^2 q_2^2}{2R} \times \\
 &\times \sum_{n=2}^{\infty} (2n+1) \frac{I_{n+1/2}(\tilde{a}_1)}{K_{n+1/2}(\tilde{a}_1)} K_{n+1/2}^2(\tilde{R}). \tag{17}
 \end{aligned}$$

Обычно в пылевой плазме радиус экранирования много больше радиуса пылевых частиц: $k_D a_1 \ll 1$. Используя разложения модифицированных функций Бесселя при малых значениях аргумента [9], для этого случая из выражений (15)–(17) получим

$$\begin{aligned}
 U &= \frac{e^2 q_1 q_2}{R} e^{-\tilde{R}} \left(1 + \frac{1}{2} \tilde{a}_1^2 \right) + \frac{1}{6} \tilde{a}_1^2 \frac{e^2 q_2^2 a_1}{R^2} e^{-2\tilde{R}} - \\
 &- \frac{e^2 q_2^2}{\pi R} \sum_{n=1}^{\infty} K_{n+1/2}^2(\tilde{R}) \frac{(\tilde{a}_1)^{2n+1}}{[(2n-1)!!]^2}, \tag{18}
 \end{aligned}$$

где $(2n-1)!! = 1 \cdot 3 \cdot 5 \cdot \dots \cdot (2n-1)$.

Используя разложение функций Макдональда при больших значениях аргумента $k_D R \gg 1$ [9], выражение (18) преобразуем к виду

$$U = \frac{e^2 q_1 q_2}{R} e^{-\tilde{R}} \left(1 + \frac{1}{2} \tilde{a}_1^2 \right) + \frac{1}{6} \tilde{a}_1^2 \frac{e^2 q_2^2 a_1}{R^2} e^{-2\tilde{R}} - \frac{e^2 q_2^2}{2R\tilde{R}} e^{-2\tilde{R}} \sum_{n=1}^{\infty} \frac{(\tilde{a}_1)^{2n+1}}{[(2n-1)!!]^2} \times \left[1 + \frac{n(n+1)}{\tilde{R}} + \frac{n^2(n+1)^2}{4\tilde{R}^2} \right]. \quad (19)$$

Из этого выражения видно, что при $k_D R \gg 1$ потенциал взаимодействия определяется первым членом (15), который в рассматриваемом случае $k_D a_1 \ll 1$ имеет вид

$$U_0 = \frac{e^2 q_1 q_2}{R} e^{-\tilde{R}} \left(1 + \frac{1}{2} \tilde{a}_1^2 \right). \quad (20)$$

Видно, что поправка к энергии взаимодействия при больших межчастичных расстояниях содержит только квадратичную поправку на размер макрочастицы. В противоположном случае, при $k_D R \ll 1$, для малых расстояний между макрочастицей и зарядом q_2 из формулы (18) находим, что

$$U = U_0 - \frac{e^2 q_2^2}{2R^2} \frac{a_1^3}{R^2 - a_1^2}. \quad (21)$$

При $k_D = 0$ выражение (21) принимает следующий вид:

$$U = \frac{e^2 q_1 q_2}{R} - \frac{e^2 q_2^2}{2R^2} \frac{a_1^3}{R^2 - a_1^2}, \quad (22)$$

что совпадает с выражением для потенциала взаимодействия точечного заряда с проводящим шаром в вакууме [11, 12].

На рис. 2 приведены зависимости потенциальной энергии взаимодействия от $L = R - a_1$ — наименьшего расстояния между поверхностью макрочастицы и точечным зарядом, — рассчитанные по точным формулам (14)–(17) и согласно приближенным формулам (20)–(22). Видно, что на расстояниях $\tilde{L} = k_D L > 0.1$ потенциальная энергия очень хорошо описывается потенциалом ДЛФО, умноженным на точечный заряд, а приближенная формула (21) при выполнении условия $k_D a_1 \ll 1$ хорошо описывает потенциал взаимодействия на всех расстояниях. На рис. 2 также видно, что энергия взаимодействия в плазме оказывается меньше, чем в вакууме при всех межчастичных расстояниях.

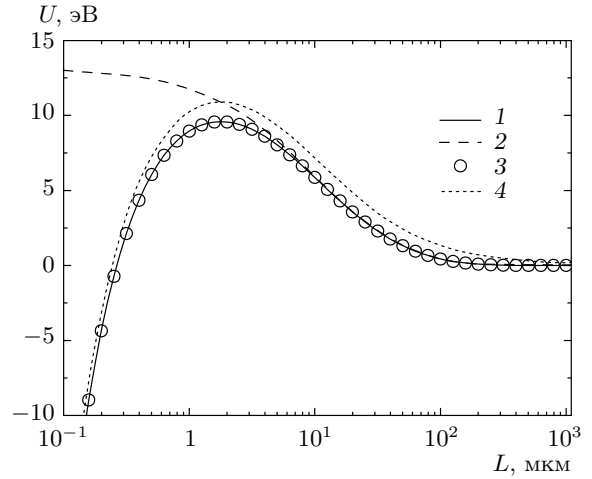


Рис. 2. Зависимости от L потенциальной энергии взаимодействия макрочастицы с точечным зарядом для $q_1 = 10^3$, $a_1 = 10$ мкм, $q_2 = 10^2$, $k_D = 100$ мкм: 1 — точный расчет согласно (14)–(17); 2 — (20), 3 — (21), 4 — (22)

При $k_D a_1 \gg 1$ и, соответственно, $k_D R \gg 1$, имеем (см. [9])

$$\frac{K_{n+1/2}(\tilde{R})}{K_{n+1/2}(\tilde{a}_1)} \approx \sqrt{\frac{a_1}{R}} e^{-(\tilde{R}-\tilde{a}_1)}.$$

Для $\theta = 0$, $r_2 = R - a_1$ из формулы (6) следует, что

$$\sum_{n=0}^{\infty} (2n+1) I_{n+1/2}(\tilde{a}_1) K_{n+1/2}(\tilde{R}) = \frac{\sqrt{a_1 R}}{R - a_1} e^{-(\tilde{R}-\tilde{a}_1)}.$$

С учетом всего этого для свободной энергии для режима сильного экранирования находим:

$$U = U_D - \frac{e^2 q_2^2}{2R} e^{-2(\tilde{R}-\tilde{a}_1)} \times \left[\frac{a_1}{R - a_1} - \frac{a_1}{R(1 + \tilde{a}_1)} \right]. \quad (23)$$

Выражение (23) определяет асимптотическую зависимость, ниже которой зависимость потенциальной энергии взаимодействия макрочастицы с точечным зарядом от межчастичного расстояния в равновесной плазме при заданных зарядах не может опуститься.

Рассмотрим промежуточный случай экранирования, $k_D a_1 \sim 1$. В этом случае учтем то обстоятельство, что модифицированные функции мнимого аргумента первого рода с ростом порядка быстро убывают [9], поэтому функции Макдональда можно выразить через модифицированные функции мнимого

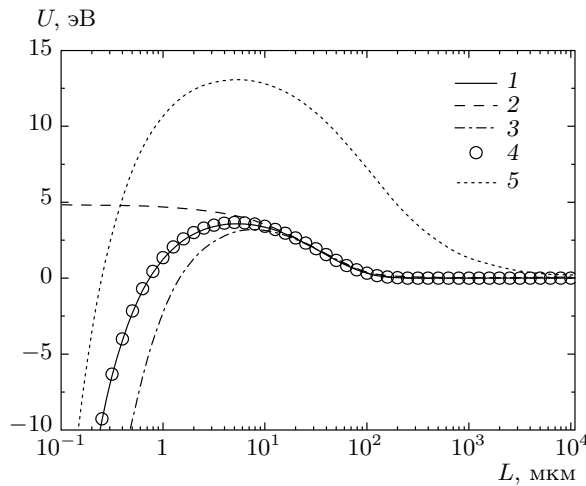


Рис. 3. Зависимости потенциальной энергии взаимодействия макрочастицы с точечным зарядом для $q_1 = 10^4$, $a_1 = 100$ мкм, $q_2 = 10^2$, $k_D = 50$ мкм: 1 — точный расчет согласно (14)–(17); 2 — (15), 3 — (23), 4 — (14)–(16) и (25), 5 — (22)

аргумента второго рода. Тогда из формулы (17) получим

$$U_2 = -\frac{e^2 q_2^2}{2R} e^{-(\tilde{R}-\tilde{a}_1)} \sum_{n=2}^{\infty} \left(\frac{a_1}{R}\right)^{2n+1} \times \left[1 + \frac{\tilde{a}_1^2}{2(2n+3)} + \dots\right] \left[1 - \frac{\tilde{R}^2}{2(2n-1)} + \dots\right]. \quad (24)$$

После суммирования, с учетом только линейных по a_1^2 и R^2 членов в квадратных скобках окончательно получим следующее выражение:

$$U_2 = -\frac{e^2 q_2^2}{2R} e^{-(\tilde{R}-\tilde{a}_1)} \left[\left(\frac{a_1}{R}\right)^3 \left(\frac{a_1^2}{R^2 - a_1^2} + \frac{1}{3}\tilde{R}^2 - \frac{1}{10}\tilde{a}_1^2\right) + \frac{\tilde{R}^2 - \tilde{a}_1^2}{4} \ln \frac{R+a_1}{R-a_1} - \frac{1}{2}\tilde{a}_1\tilde{R} \right]. \quad (25)$$

На рис. 3 приведены зависимости от L потенциальной энергии взаимодействия для промежуточного режима экранирования. Видно, что ДЛФО-потенциал оказывается хорошим приближением только на расстояниях $k_D L > 0.5$, а формула (25) хорошо описывает потенциал взаимодействия на всех расстояниях. Сравнение кривых 1 и 5 показывает, что при $k_D a_1 \approx 1$ различие энергии взаимодействия в плазме и в вакууме оказывается еще больше. На рис. 2, 3 также видно, что на малых расстояниях между одноименно заряженными сферической макрочастицей и точечным зарядом отталкивание пе-

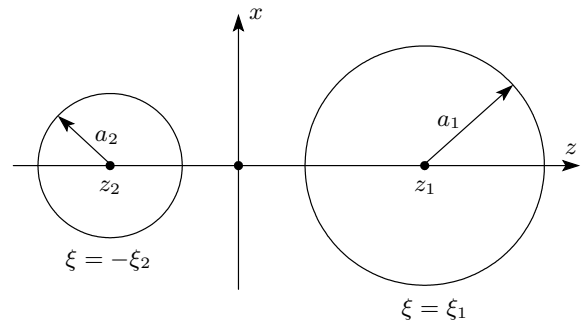


Рис. 4. Геометрия взаимодействия двух макрочастиц радиусами a_1 и a_2

реходит в притяжение, причем в плазме этот переход происходит на больших межчастичных расстояниях, чем в вакууме.

Интересно отметить, что несмотря на больший в 10 раз заряд макрочастицы в расчетах данных на рис. 3, энергия взаимодействия оказывается меньше, чем на рис. 2 (в максимуме 3.6 эВ против 9.6 эВ). Это является следствием влияния как размера макрочастицы (ср. кривые 4 на рис. 2 и 5 на рис. 3), так и эффектов плазменного экранирования.

3. ВЗАИМОДЕЙСТВИЕ ДВУХ МАКРОЧАСТИЦ КОНЕЧНОГО РАЗМЕРА. БИСФЕРИЧЕСКИЕ КООРДИНАТЫ

Перейдем к изучению взаимодействия двух макрочастиц конечного размера, пренебрегая эффектами экранирования. Введем бисферические координаты (см. [11] и рис. 4):

$$x = \frac{a \sin \eta \cos \alpha}{\operatorname{ch} \xi - \cos \eta}, \quad y = \frac{a \sin \eta \sin \alpha}{\operatorname{ch} \xi - \cos \eta}, \quad z = \frac{a \operatorname{sh} \xi}{\operatorname{ch} \xi - \cos \eta}.$$

В этих координатах поверхности макрочастиц определяются соотношениями $\xi = \xi_1$, $\xi = -\xi_2$,

$$\operatorname{ch} \xi_1 = \frac{R^2 + a_1^2 - a_2^2}{2Ra_1}, \quad \operatorname{ch} \xi_2 = \frac{R^2 + a_2^2 - a_1^2}{2Ra_2},$$

где R — расстояние между центрами макрочастиц. Отметим, что

$$R = z_1 - z_2 = a (\operatorname{cth} \xi_1 + \operatorname{cth} \xi_2) = a_1 \operatorname{ch} \xi_1 + a_2 \operatorname{ch} \xi_2, \\ a = a_1 \operatorname{sh} \xi_1 = a_2 \operatorname{sh} \xi_2, \quad z_1 = a \operatorname{cth} \xi_1 = a_1 \operatorname{ch} \xi_1, \\ z_2 = -a \operatorname{cth} \xi_2 = -a_2 \operatorname{ch} \xi_2.$$

В бисферических координатах коэффициенты Ламэ равны [11]

$$h_\xi = h_\eta = \frac{a}{\operatorname{ch} \xi - \cos \eta}, \quad h_\alpha = \frac{a \sin \eta}{\operatorname{ch} \xi - \cos \eta},$$

поэтому уравнение Лапласа имеет вид [11]

$$\Delta\phi = \frac{(\operatorname{ch}\xi - \cos\eta)^3}{a^2} \left[\frac{\partial}{\partial\xi} \left(\frac{1}{\operatorname{ch}\xi - \cos\eta} \frac{\partial\phi}{\partial\xi} \right) + \frac{1}{\sin\eta} \frac{\partial}{\partial\eta} \left(\frac{\sin\eta}{\operatorname{ch}\xi - \cos\eta} \frac{\partial\phi}{\partial\eta} \right) + \frac{1}{\sin^2\eta (\operatorname{ch}\xi - \cos\eta)} \frac{\partial^2\phi}{\partial\alpha^2} \right] = 0. \quad (26)$$

После подстановки $\phi = \psi\sqrt{\operatorname{ch}\xi - \cos\eta}$ в уравнение (26) получим

$$\frac{\sqrt{2} (\operatorname{ch}\xi - \cos\eta)^{5/2}}{a^2} \left[\frac{\partial^2\psi}{\partial\xi^2} + \frac{1}{\sin\eta} \frac{\partial}{\partial\eta} \sin\eta \frac{\partial\psi}{\partial\eta} + \frac{1}{\sin^2\eta} \frac{\partial^2\psi}{\partial\alpha^2} - \frac{1}{4}\psi \right] = 0. \quad (27)$$

Вследствие аксиальной симметрии рассматриваемой задачи потенциал не зависит от азимутального угла α . В этом случае частными решениями уравнения (27), ограниченными при $\eta = 0$ и $\eta = \pi$ ($\eta = 0$ — ось z от $-\infty$ до $-a$ и от a до ∞ ; $\eta = \pi$ — отрезок $-a \leq z \leq a$), являются функции

$$\psi_\ell(\xi, \eta) = \left[A_\ell \operatorname{ch} \left(\ell + \frac{1}{2} \right) \xi + B_\ell \operatorname{sh} \left(\ell + \frac{1}{2} \right) \xi \right] P_\ell(\cos\eta), \quad (28)$$

где $P_\ell(\cos\eta)$ — полиномы Лежандра, $\ell = 0, 1, 2, \dots$. Будем искать решение (27) в виде ряда:

$$\psi(\xi, \eta) = \sum_{\ell=0}^{\infty} \left[A_\ell \operatorname{ch} \left(\ell + \frac{1}{2} \right) \xi + B_\ell \operatorname{sh} \left(\ell + \frac{1}{2} \right) \xi \right] P_\ell(\cos\eta). \quad (29)$$

Коэффициенты A_ℓ и B_ℓ определим из граничных условий. Для упрощения выкладок положим, что макрочастицы являются проводниками. Сначала рассмотрим случай, когда заданы электростатические потенциалы поверхности макрочастиц, равные ϕ_{1s} и ϕ_{2s} ,

$$\phi(\xi = \xi_1) = \phi_{1s}, \quad \phi(\xi = -\xi_2) = \phi_{2s}$$

или

$$\psi|_{\xi=\xi_1} = \frac{\phi_{1s}}{\sqrt{2 \operatorname{ch}\xi_1 - 2 \cos\eta}},$$

$$\psi|_{\xi=-\xi_2} = \frac{\phi_{2s}}{\sqrt{2 \operatorname{ch}\xi_2 - 2 \cos\eta}}.$$

Используем разложение [11]

$$\frac{1}{\sqrt{2 \operatorname{ch}\xi - 2 \cos\eta}} = \sum_{\ell=0}^{\infty} e^{-(\ell+1/2)|\xi|} P_\ell(\cos\eta). \quad (30)$$

Тогда граничные условия примут вид

$$\psi|_{\xi=\xi_1} = \phi_{1s} \sum_{\ell=0}^{\infty} e^{-(\ell+1/2)\xi_1} P_\ell(\cos\eta),$$

$$\psi|_{\xi=-\xi_2} = \phi_{2s} \sum_{\ell=0}^{\infty} e^{-(\ell+1/2)\xi_2} P_\ell(\cos\eta). \quad (31)$$

В результате для коэффициентов разложения (29) находим

$$A_\ell = \frac{1}{\operatorname{sh}(\ell+1/2)\xi_{12}} \left[\phi_{1s} e^{-(\ell+1/2)\xi_1} \operatorname{sh} \left(\ell + \frac{1}{2} \right) \xi_2 + \phi_{2s} e^{-(\ell+1/2)\xi_2} \operatorname{sh} \left(\ell + \frac{1}{2} \right) \xi_1 \right], \quad (32)$$

$$B_\ell = \frac{1}{\operatorname{sh}(\ell+1/2)\xi_{12}} \left[\phi_{1s} e^{-(\ell+1/2)\xi_1} \operatorname{ch} \left(\ell + \frac{1}{2} \right) \xi_2 - \phi_{2s} e^{-(\ell+1/2)\xi_2} \operatorname{ch} \left(\ell + \frac{1}{2} \right) \xi_1 \right]. \quad (33)$$

Найдем распределения плотности поверхностного заряда на каждой из макрочастиц, которые определены соотношениями

$$\sigma_1(\eta) = -\frac{1}{4\pi} \frac{\partial\phi}{\partial n} \Big|_{\xi=\xi_1} = \frac{1}{4\pi h_\xi} \frac{\partial\phi}{\partial\xi} \Big|_{\xi=\xi_1},$$

$$\sigma_2(\eta) = -\frac{1}{4\pi} \frac{\partial\phi}{\partial n} \Big|_{\xi=-\xi_2} = -\frac{1}{4\pi h_\xi} \frac{\partial\phi}{\partial\xi} \Big|_{\xi=-\xi_2}$$

(для первой макрочастицы внешняя нормаль направлена в сторону убывания координаты ξ , поэтому знак минус в выражении для σ_1 исчезает). Получим

$$\sigma_1(\eta) = \frac{1}{4\pi a} \left\{ \frac{1}{2} \phi_{1s} \operatorname{sh}\xi_1 + \sqrt{2} (\operatorname{ch}\xi_1 - \cos\eta)^{3/2} \times \sum_{\ell=0}^{\infty} \left(\ell + \frac{1}{2} \right) \left[A_\ell \operatorname{sh} \left(\ell + \frac{1}{2} \right) \xi_1 + B_\ell \operatorname{ch} \left(\ell + \frac{1}{2} \right) \xi_1 \right] \times \right. \\ \left. \times P_\ell(\cos\eta) \right\}, \quad (34)$$

$$\sigma_2(\eta) = \frac{1}{4\pi a} \left\{ \frac{1}{2} \phi_{2s} \operatorname{sh} \xi_2 + \sqrt{2} (\operatorname{ch} \xi_2 - \cos \eta)^{3/2} \times \right. \\ \left. \times \sum_{\ell=0}^{\infty} \left(\ell + \frac{1}{2} \right) \left[A_{\ell} \operatorname{sh} \left(\ell + \frac{1}{2} \right) \xi_2 - B_{\ell} \operatorname{ch} \left(\ell + \frac{1}{2} \right) \xi_2 \right] \times \right. \\ \left. \times P_{\ell}(\cos \eta) \right\}. \quad (35)$$

Интегрируя выражения (34) и (35) по поверхностям макрочастиц

$$q_{1(2)} = \int_0^{\pi} \frac{2\pi a^2 \sigma_{1(2)}}{(\operatorname{ch} \xi_{1(2)} - \cos \eta)^2} \sin \eta d\eta, \quad (36)$$

найдем их заряды:

$$q_1 = \frac{1}{2} a_1 \phi_{1s} + a \sum_{\ell=0}^{\infty} \frac{e^{-(\ell+1/2)\xi_1}}{\operatorname{sh}(\ell+1/2)\xi_{12}} \times \\ \times \left[\phi_{1s} e^{-(\ell+1/2)\xi_1} \operatorname{ch} \left(\ell + \frac{1}{2} \right) \xi_{12} - \right. \\ \left. - \phi_{2s} e^{-(\ell+1/2)\xi_2} \right], \quad (37)$$

$$q_2 = \frac{1}{2} a_2 \phi_{2s} + a \sum_{\ell=0}^{\infty} \frac{e^{-(\ell+1/2)\xi_2}}{\operatorname{sh}(\ell+1/2)\xi_{12}} \times \\ \times \left[\phi_{2s} e^{-(\ell+1/2)\xi_2} \operatorname{ch} \left(\ell + \frac{1}{2} \right) \xi_{12} - \right. \\ \left. - \phi_{1s} e^{-(\ell+1/2)\xi_1} \right], \quad (38)$$

где $\xi_{12} = \xi_1 + \xi_2$. Выражения (37), (38) определяют емкостные коэффициенты:

$$c_{11} = \frac{1}{2} a_1 + a \sum_{\ell=0}^{\infty} e^{-(2\ell+1)\xi_1} \operatorname{cth} \left(\ell + \frac{1}{2} \right) \xi_{12}, \\ c_{22} = \frac{1}{2} a_2 + a \sum_{\ell=0}^{\infty} e^{-(2\ell+1)\xi_2} \operatorname{cth} \left(\ell + \frac{1}{2} \right) \xi_{12}, \quad (39) \\ c_{12} = c_{21} = -a \sum_{\ell=0}^{\infty} \frac{e^{-(\ell+1/2)\xi_{12}}}{\operatorname{sh}(\ell+1/2)\xi_{12}}.$$

Разлагая гиперболические функции в соотношениях (39) в экспоненциальный ряд, после суммирования находим

$$c_{ii} = a \sum_{n=0}^{\infty} [\operatorname{sh}(\xi_i + n\xi_{12})]^{-1}, \quad i = 1, 2; \\ c_{12} = -a \sum_{n=1}^{\infty} (\operatorname{sh}(n\xi_{12}))^{-1}. \quad (40)$$

С учетом того, что

$$\operatorname{ch} \xi_{12} = \frac{R^2 - a_1^2 - a_2^2}{2a_1 a_2}, \quad a = \frac{a_1 a_2}{R} \operatorname{sh} \xi_{12},$$

а также

$$R \operatorname{sh} \xi_1 = a_2 \operatorname{sh} \xi_{12}, \quad R \operatorname{sh} \xi_2 = a_1 \operatorname{sh} \xi_{12},$$

$$R \operatorname{ch} \xi_1 = a_1 + a_2 \operatorname{ch} \xi_{12}, \quad R \operatorname{ch} \xi_2 = a_2 + a_1 \operatorname{ch} \xi_{12},$$

легко можно показать, что выражения (40) тождественны соотношениям для емкостных коэффициентов, приведенным в работе [12] (отметим, что в книге [11] выражения для c_{11} и c_{22} содержат ошибки).

В случае, когда заданы заряды, решив уравнения (37), (38), найдем потенциалы макрочастиц, которые теперь зависят от межчастичного расстояния:

$$\phi_{1s} = s_{11} q_1 + s_{12} q_2, \\ \phi_{2s} = s_{21} q_1 + s_{22} q_2. \quad (41)$$

Здесь s_{11} , s_{12} , s_{21} , s_{22} — потенциальные коэффициенты, равные

$$s_{11} = \frac{c_{22}}{c_{11} c_{22} - c_{12}^2}, \\ s_{12} = s_{21} = -\frac{c_{12}}{c_{11} c_{22} - c_{12}^2}, \\ s_{22} = \frac{c_{11}}{c_{11} c_{22} - c_{12}^2}. \quad (42)$$

Электростатическая энергия системы двух макрочастиц определяется соотношением [11, 12]

$$W = \frac{1}{2} c_{11} \phi_{1s}^2 + c_{12} \phi_{1s} \phi_{2s} + \frac{1}{2} c_{22} \phi_{2s}^2 = \\ = \frac{1}{2} s_{11} q_1^2 + s_{12} q_1 q_2 + \frac{1}{2} s_{22} q_2^2. \quad (43)$$

Рассмотрим случай одинаковых макрочастиц $a_1 = a_2 = a_0$ с равными зарядами $q_1 = q_2 = q_0$. В этом случае полная емкость системы $C(R) = c_{11} + 2c_{12} + c_{22}$, следовательно, $C(R = \infty) = 2a_0$ и $C(R = 2a_0) = 2a_0 \ln 2$ (см. также [11, 12]). Энергия при бесконечно большом межчастичном расстоянии равна

$$W|_{R=\infty} = a_0 \phi_0^2 = q_0^2 / a_0.$$

Если при сближении макрочастиц их заряды не меняются, то

$$W|_{R=2a_0} = q_0^2 / a_0 \ln 2 > W|_{R=\infty};$$

если поддерживаются постоянными потенциалы макрочастиц, то

$$W|_{R=2a_0} = a_0 \phi_0^2 \ln 2 < W|_{R=\infty}.$$

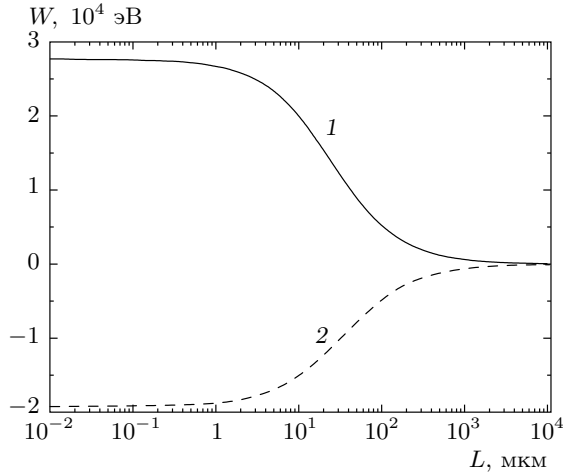


Рис. 5. Зависимости энергии двух макрочастиц одного размера от наименьшего расстояния между поверхностями макрочастиц $L = R - a_1 - a_2$ для $a_1 = a_2 = 10$ мкм, $e\phi_{10} = e\phi_{20} \approx 3T_e$, $eq_{i0} = \phi_{i0}a_i$, $T_e = 1$ эВ: 1 — при постоянных зарядах, 2 — при постоянных потенциалах

Отсюда видно, что если постоянны заряды, как в вакууме, то энергия при сближении макрочастиц растет. Если поддерживаются постоянными потенциалы, как в неравновесной плазме (с неравными нулю стоками электронов и ионов на макрочастицы), то энергия с уменьшением расстояния между частицами уменьшается, что хорошо видно на рис. 5. Особо нужно подчеркнуть, что убывание энергии в последнем случае еще не говорит о наличии притяжения между одноименно заряженными макрочастицами. Для того чтобы показать это, определим силу взаимодействия с использованием тензора натяжений.

К единице поверхности проводника в электростатическом поле приложена сила [11] (для первой макрочастицы, которая находится со стороны положительных значений оси z , поэтому сила отталкивания со стороны второй макрочастицы для нее будет положительной, а притяжения — отрицательной):

$$\mathbf{f}_{1surf} = \mathbf{T}_{1n} = \frac{E_1^2}{8\pi} \mathbf{n} = \frac{1}{2} \sigma_1 \mathbf{E}_1. \quad (44)$$

где \mathbf{n} — внешняя нормаль к элементу поверхности первой макрочастицы, \mathbf{E}_1 , σ_1 — напряженность электрического поля и плотность поверхностного заряда в этой точке. Из симметрии задачи ясно, что отлична от нуля только z -составляющая силы. Поэтому для определения z -составляющей удельной силы имеем

$$f_{z1} = \frac{1}{2} \sigma_1 E_1 \cos \theta \equiv \frac{1}{2} \sigma_1 E_1 \frac{\text{ch } \xi_1 \cos \eta - 1}{\text{ch } \xi_1 - \cos \eta}. \quad (45)$$

В бисферических координатах сила определяется выражением

$$\begin{aligned} F_{z1} &= \frac{1}{2} \int_0^\pi \int_0^{2\pi} \sigma_1(\eta) E_1(\eta) \frac{\text{ch } \xi_1 \cos \eta - 1}{\text{ch } \xi_1 - \cos \eta} h_\eta h_\alpha d\eta d\alpha = \\ &= 4\pi^2 a^2 \int_{-1}^1 \frac{\mu \text{ch } \xi_1 - 1}{(\text{ch } \xi_1 - \mu)^3} \sigma_1^2(\mu) d\mu, \quad (46) \end{aligned}$$

где $\mu = \cos \eta$. После подстановки (34) выражение (46) преобразуем к виду

$$F_{z1} = F_1 + F_2 + F_3, \quad (47)$$

$$F_1 = \frac{1}{16} \phi_{1s}^2 \text{sh}^2 \xi_1 \int_{-1}^1 \frac{\mu \text{ch } \xi_1 - 1}{(\text{ch } \xi_1 - \mu)^3} d\mu \equiv 0, \quad (48)$$

$$\begin{aligned} F_2 &= \frac{\phi_{1s} \text{sh } \xi_1}{2\sqrt{2}} \int_{-1}^1 \frac{\mu \text{ch } \xi_1 - 1}{(\text{ch } \xi_1 - \mu)^{3/2}} \times \\ &\times \sum_{\ell=0}^{\infty} \left(\ell + \frac{1}{2} \right) P_\ell(\mu) D_\ell d\mu, \quad (49) \end{aligned}$$

$$\begin{aligned} F_3 &= \frac{1}{2} \int_{-1}^1 (\mu \text{ch } \xi_1 - 1) \times \\ &\times \left[\sum_{\ell=0}^{\infty} \left(\ell + \frac{1}{2} \right) P_\ell(\mu) D_\ell \right]^2 d\mu, \quad (50) \end{aligned}$$

где

$$\begin{aligned} D_\ell &= A_\ell \text{sh} \left(\ell + \frac{1}{2} \right) \xi_1 + B_\ell \text{ch} \left(\ell + \frac{1}{2} \right) \xi_1 \equiv \\ &\equiv \phi_{1s} e^{-(\ell+1/2)\xi_1} \text{cth} \left(\ell + \frac{1}{2} \right) \xi_{12} - \phi_{2s} e^{-(\ell+1/2)\xi_2} \times \\ &\times \text{csch} \left(\ell + \frac{1}{2} \right) \xi_{12}. \end{aligned}$$

Для вычисления функции (49) продифференцируем (30) по $d\mu = d \cos \eta$ и воспользуемся тем, что (см. [13, 14])

$$\begin{aligned} \frac{dP_\ell}{d\mu} &= (2\ell - 1)P_{\ell-1} + (2\ell - 5)P_{\ell-3} + \\ &+ (2\ell - 9)P_{\ell-5} + \dots, \quad (51) \\ \mu \frac{dP_\ell}{d\mu} &= \ell P_\ell + (2\ell - 3)P_{\ell-2} + (2\ell - 7)P_{\ell-4} + \dots \end{aligned}$$

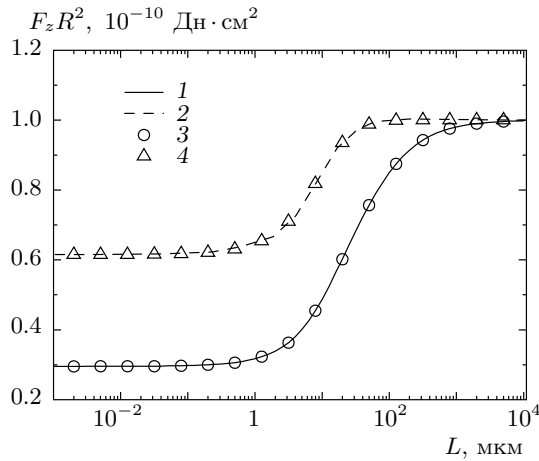


Рис. 6. Зависимости силы взаимодействия двух макрочастиц одного размера от наименьшего расстояния между поверхностями макрочастиц для $a_1 = a_2 = 10$ мкм, $e\phi_{10} = e\phi_{20} \approx 3T_e$, $eq_{i0} = \phi_{i0}a_i$, $T_e = 1$ эВ: 1 — при постоянных потенциалах из (47), 2 — при постоянных зарядах из (47), 3 — численное дифференцирование (54), 4 — численное дифференцирование (55)

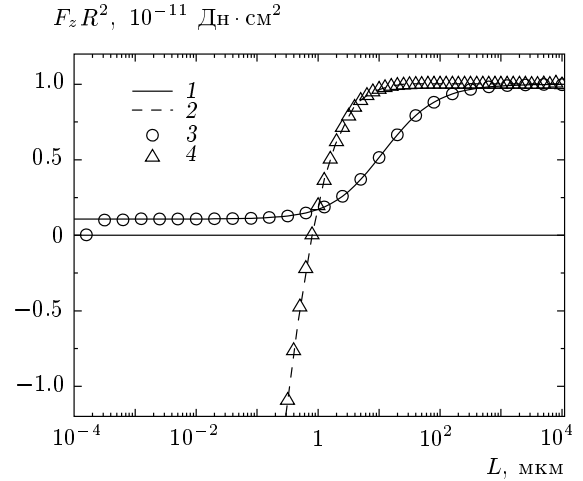


Рис. 7. Зависимости силы взаимодействия двух макрочастиц разного размера от наименьшего расстояния между поверхностями макрочастиц для $a_1 = 10$ мкм, $a_2 = 1$ мкм: 1 — при постоянных потенциалах из (47), 2 — при постоянных зарядах из (47), 3 — численное дифференцирование (54), 4 — численное дифференцирование (55)

Если ℓ четное, то ряды оканчиваются соответственно на $3P_1$ и P_0 , если нечетное, то наоборот, на P_0 и $3P_1$. Теперь после интегрирования (49) получим

$$\begin{aligned}
 F_2 &= \phi_{1s} \operatorname{sh} \xi_1 \sum_{\ell=0}^{\infty} \left[\ell \operatorname{ch} \xi_1 - \left(\ell + \frac{1}{2} \right) e^{-\xi_1} \right] \times \\
 &\quad \times D_{\ell} e^{-(\ell+1/2)\xi_1} = \\
 &= \frac{1}{2} \phi_{1s} \operatorname{sh} \xi_1 \sum_{\ell=0}^{\infty} \left[\ell \operatorname{ch} \xi_1 - \left(\ell + \frac{1}{2} \right) e^{-\xi_1} \right] \times \\
 &\times \left\{ A_{\ell} \left[1 - e^{-(2\ell+1)\xi_1} \right] + B_{\ell} \left[1 + e^{-(2\ell+1)\xi_1} \right] \right\}. \quad (52)
 \end{aligned}$$

Используя рекуррентные соотношения для полиномов Лежандра [13, 14], из формулы (50) находим, что

$$\begin{aligned}
 F_3 &= \frac{1}{4} \sum_{\ell=0}^{\infty} D_{\ell} \{ \operatorname{ch} \xi_1 [\ell D_{\ell-1} + (\ell + 1) D_{\ell+1}] - \\
 &\quad - (2\ell + 1) D_{\ell} \}. \quad (53)
 \end{aligned}$$

На рис. 6, 7 приведены зависимости силы, рассчитанные на основе формул (47) с использованием (52), (53). Мы видим, что для одноименно-заряженных макрочастиц одного радиуса сила имеет отталкивательный характер как в случае постоянных зарядов (см. [15–17]), так и в случае постоянных потенциалов макрочастиц. В расчетах здесь

и далее положено, что потенциалы уединенных макрочастиц при $R = \infty$ определяются температурой электронов T_e :

$$e\phi_{10} = e\phi_{20} \approx 3T_e,$$

а при вычислении зарядов при $R = \infty$ использовалась вакуумная связь заряда с потенциалом

$$eq_{i0} = \phi_{i0}a_i, \quad i = 1, 2.$$

В случае разных размеров макрочастиц на малых расстояниях отталкивание переходит в притяжение, причем в случае постоянных зарядов это происходит на большем расстоянии, чем в случае постоянных потенциалов. В последнем случае сила оказывается значительно меньше для макрочастиц как одинакового, так и разного размера. Это связано с тем, что по мере сближения макрочастиц при постоянных потенциалах их заряд уменьшается (см. рис. 8, 9; например, для макрочастицы радиусом 1 мкм на рис. 9 — почти на порядок с 2081 до 303.7).

Интегрируя выражения (52), (53), найдем потенциальную энергию взаимодействия, которая при постоянных потенциалах равна

$$\begin{aligned}
 U_{\varphi} &= \frac{1}{2} c_{11} \phi_{10}^2 + c_{12} \phi_{10} \phi_{20} + \frac{1}{2} c_{22} \phi_{20}^2 - \\
 &\quad - e(q_1 - q_{10}) \phi_{10} - e(q_2 - q_{20}) \phi_{20} - \\
 &\quad - \frac{1}{2} (\phi_{10}^2 a_1 + \phi_{20}^2 a_2), \quad (54)
 \end{aligned}$$

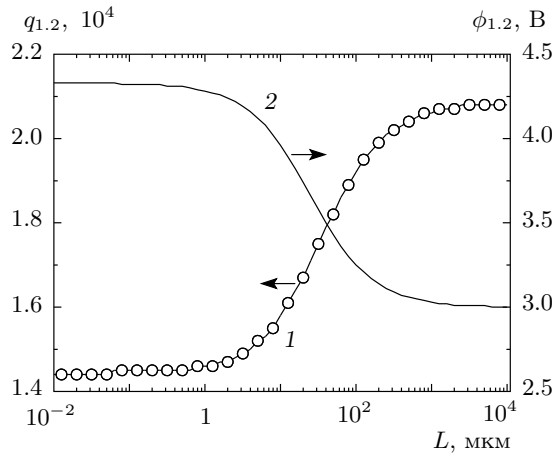


Рис. 8. Зависимости зарядов при постоянных потенциалах (1) и потенциалов поверхности при постоянных зарядах (2) от наименьшего расстояния между поверхностями двух одинаковых макро-частиц при $a_1 = a_2 = 10$ мкм, $e\phi_{10} = e\phi_{20} \approx 3T_e$, $e q_{i0} = \phi_{i0} a_i$, $T_e = 1$ эВ

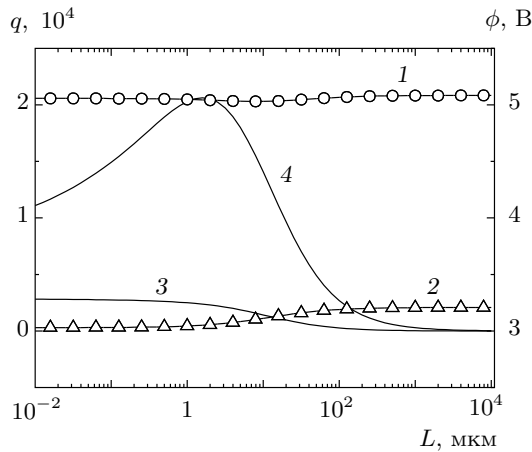


Рис. 9. Зависимости зарядов макро-частиц (1 — первой, 2 — второй) при постоянных потенциалах и потенциалов поверхности (3 — первой, 4 — второй) при постоянных зарядах от наименьшего расстояния между поверхностями макро-частиц при $a_1 = 10$ мкм, $a_2 = 1$ мкм, $e\phi_{10} = e\phi_{20} \approx 3T_e$, $e q_{i0} = \phi_{i0} a_i$, $T_e = 1$ эВ

а при постоянных зарядах —

$$U_q = \frac{1}{2} s_{11} e^2 q_{10}^2 + s_{12} e^2 q_{10} q_{20} + \frac{1}{2} s_{22} e^2 q_{20}^2 - \frac{1}{2} e^2 \left(\frac{q_{10}^2}{a_1} + \frac{q_{20}^2}{a_2} \right). \quad (55)$$

В формулах (54), (55) потенциальная энергия при бесконечно большом межчастичном расстоянии при-

нята равной нулю, поэтому из энергии вычитаются собственные энергии частиц (последние слагаемые). Четвертое и пятое слагаемые в правой части (54) — работа внешних источников по поддержанию потенциалов поверхностей макро-частиц постоянными. Используя определение емкостных коэффициентов (37)–(39), выражение (54) можно записать в виде

$$U_\varphi = \frac{1}{2} (a_1 - c_{11}) \phi_{10}^2 - c_{12} \phi_{10} \phi_{20} + \frac{1}{2} (a_2 - c_{22}) \phi_{20}^2. \quad (56)$$

На рис. 6, 7 приведены зависимости силы взаимодействия, полученные численным дифференцированием выражений (54), (55). Видно хорошее согласие с данными прямого вычисления силы на основе формул (52), (53) (расхождение на малых расстояниях на рис. 7 в случае постоянных потенциалов связано с ошибками численного дифференцирования). На рис. 8, 9 приведены графики зависимости зарядов макро-частиц от межчастичного расстояния при постоянных зарядах и потенциалах поверхности. Видно, что при постоянных зарядах по мере сближения макро-частиц растут их поверхностные потенциалы, а при постоянных потенциалах поверхности макро-частиц их заряды уменьшаются. Также видно, что в случае частиц разного размера, потенциал поверхности малой макро-частицы проходит через максимум.

На рис. 10, 11 представлены зависимости потенциальной энергии взаимодействия двух макро-частиц, рассчитанные по формулам (54), (55). Видно, что при постоянных потенциалах поверхности энергия взаимодействия оказывается заметно меньше, чем при постоянных зарядах.

Теперь рассмотрим вопрос о характере взаимодействия макро-частиц одного радиуса, несущих разные заряды одного знака. На рис. 12 приведены графики зависимости силы от межчастичного расстояния для разных отношений зарядов $k = q_1/q_2$. Видно, что уже при превышении заряда одной из макро-частиц на 0.35 % заряда другой на малых расстояниях появляется область притяжения между макро-частицами (при $k = 1.003$ притяжение при $L \geq 10^{-6}$ мкм не проявляется). Более точное установление границы затрудняется ограниченной точностью численных расчетов вследствие медленной сходимости рядов в выражениях (52), (53) при вычислении силы взаимодействия на малых межчастичных расстояниях. Все вычисления проводились с двойной точностью с 15 значащими цифрами до членов $\ell = 2000$ включительно (дальней-

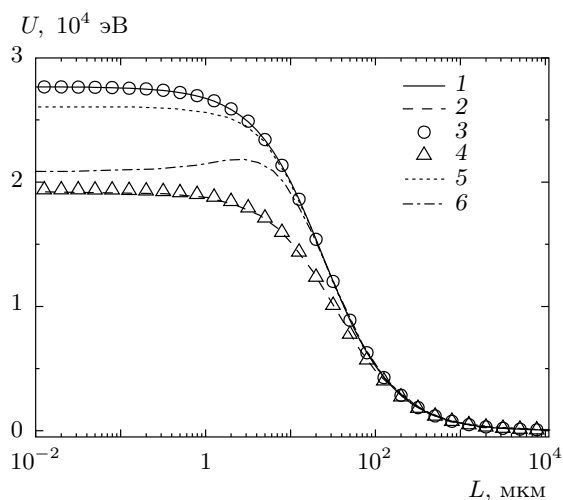


Рис. 10. Зависимости потенциальной энергии взаимодействия двух макрочастиц одного размера от наименьшего расстояния между поверхностями макрочастиц при $a_1 = a_2 = 10$ мкм, $e\phi_{10} = e\phi_{20} \approx 3T_e$, $eq_{i0} = \phi_{i0}a_i$, $T_e = 1$ эВ: 1 — при постоянных зарядах согласно (55), 2 — при постоянных потенциалах из (56), 3 — при постоянных зарядах согласно (66), 4 — при постоянных потенциалах согласно (69), 5 — при постоянных зарядах согласно (70), 6 — при постоянных зарядах согласно [6]

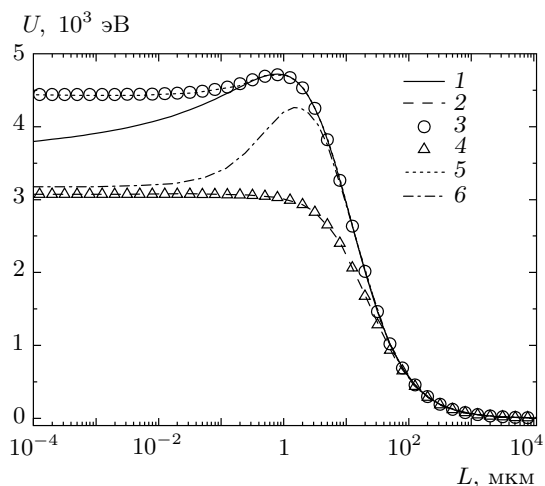


Рис. 11. Зависимости потенциальной энергии взаимодействия двух макрочастиц от наименьшего расстояния между поверхностями макрочастиц при $a_1 = 10$ мкм, $a_2 = 1$ мкм, $e\phi_{10} = e\phi_{20} \approx 3T_e$, $eq_{i0} = \phi_{i0}a_i$, $T_e = 1$ эВ: 1 — при постоянных зарядах согласно (55), 2 — при постоянных потенциалах из (56), 3 — при постоянных зарядах согласно (66), 4 — при постоянных потенциалах согласно (69), 5 — при постоянных зарядах согласно (70), 6 — при постоянных зарядах согласно [6]

шее увеличение числа членов не приводило к повышению точности конечных результатов). О точности вычислений можно судить по следующим данным: при $L = R - a_1 - a_2 = 10^{-6}$ мкм полная емкость двух макрочастиц равна $C = c_{11} + c_{12} = 6.93147187945340$ мкм, а при $L = 2 \cdot 10^{-6}$ мкм она равна $C = 6.93147195331497$ мкм. Линейная экстраполяция к $L = 0$ дает $C = 6.93147180559183$ мкм, что отличается от точного значения емкости $C = a_1 \ln 2 = 6.93147180559945$ только в 13-й значащей цифре.

4. ВЗАИМОДЕЙСТВИЕ ДВУХ МАКРОЧАСТИЦ КОНЕЧНОГО РАЗМЕРА. СФЕРИЧЕСКИЕ КООРДИНАТЫ

Проведенное в предыдущем разделе рассмотрение взаимодействия макрочастиц в бисферических координатах позволило получить решение в виде суммы бесконечного ряда, которое требует привлечения численных методов. Аналитический анализ решений затруднен, что связано, в первую очередь, с тем, что полученные ряды, как уже отмечалось вы-

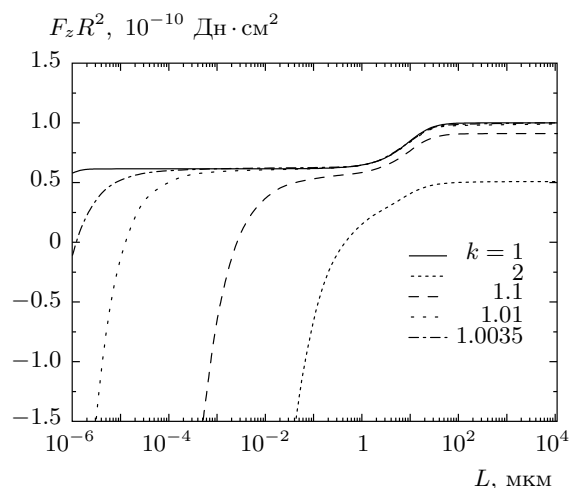


Рис. 12. Зависимости силы от межчастичного расстояния для разных отношений зарядов $k = q_1/q_2$ от наименьшего расстояния между поверхностями макрочастиц при $a_1 = a_2 = 10$ мкм, $eq_1 = \phi_{10}a_1$, $T_e = 1$ эВ

ше, плохо сходятся при малых межчастичных расстояниях и не являются разложениями по мультипольным моментам, поскольку

$$\cos \theta = 2 \operatorname{sh} \xi \sum_{\ell=0}^{\infty} e^{-(\ell+1/2)|\xi|} P_{\ell}(\cos \eta).$$

Поэтому с целью получения приближенных выражений для потенциала взаимодействия проведем рассмотрение данной задачи в сферической системе координат, связанной с одной из макрочастиц (см. рис. 1).

Распределения потенциала зарядов каждой из макрочастиц описываются выражениями

$$\begin{aligned} \phi_1(r, \theta) &= \sum_{n=0}^{\infty} A_n \frac{P_n(\cos \theta)}{r^{n+1}}, \\ \phi_2(r, \theta) &= \sum_{n=0}^{\infty} B_n \frac{P_n(\cos \theta_2)}{r^{n+1}}. \end{aligned} \quad (57)$$

Граничные условия на поверхности каждой из макрочастиц задаются выражениями (4), потенциалы поверхностей обозначим как ϕ_{1s} и ϕ_{2s} . Для разложения распределения потенциала одной из макрочастиц в системе координат другой воспользуемся формулой [13]

$$\frac{P_n(\cos \theta_2)}{r^{n+1}} = \sum_{k=0}^{\infty} \frac{(n+k)!}{n!k!} \frac{r^k}{R^{n+k+1}} P_k(\cos \theta), \quad (58)$$

$$r \leq R.$$

Аналогичное выражение можно написать в системе координат, связанной со второй макрочастицей. Окончательно из граничных условий находим:

$$A_0 = eq_1, \quad B_0 = eq_2, \quad (59)$$

$$\begin{aligned} A_k + \frac{a_1^{2k+1}}{R^k} \sum_{n=0}^{\infty} \frac{(n+k)!}{n!k!} \frac{B_n}{R^{n+1}} &= 0, \\ B_k + \frac{a_2^{2k+1}}{R^k} \sum_{n=0}^{\infty} \frac{(n+k)!}{n!k!} \frac{A_n}{R^{n+1}} &= 0, \end{aligned} \quad (60)$$

$$k = 1, 2, \dots,$$

$$\begin{aligned} \phi_{1s} &= \frac{eq_1}{a_1} + \sum_{n=0}^{\infty} \frac{B_n}{R^{n+1}}, \\ \phi_{2s} &= \frac{eq_2}{a_2} + \sum_{n=0}^{\infty} \frac{A_n}{R^{n+1}}. \end{aligned} \quad (61)$$

Решение системы (60) может быть найдено численными методами. При $R \gg a_1$ и $R \gg a_2$ найдем

приближенное решение с учетом вклада только монопольного и дипольного членов потенциала соседней макрочастицы в поляризацию заряда другой. В итоге из формулы (60) имеем

$$\begin{aligned} A_1 &= \frac{ev_1 R}{1 - 4v_1 v_2} (2q_1 v_2 - q_2), \\ B_1 &= \frac{ev_2 R}{1 - 4v_1 v_2} (2q_2 v_1 - q_1), \\ A_k &= -\frac{a_1^{2k+1}}{R^{k+1}} \left(eq_2 + \frac{(k+1)B_1}{R} \right), \\ B_k &= -\frac{a_2^{2k+1}}{R^{k+1}} \left(eq_1 + \frac{(k+1)A_1}{R} \right), \quad k = 1, 2, \dots \end{aligned} \quad (62)$$

где $v_1 = (a_1/R)^3$, $v_2 = (a_2/R)^3$.

Для определения силы, действующей на первую макрочастицу, из выражения (44) получаем, что

$$F_z = \frac{1}{4} a_1^2 \int_{-1}^1 \left[\frac{\partial (\phi_1 + \phi_2)}{\partial r} \right]^2 \Big|_{r=a_1} \mu d\mu. \quad (63)$$

Отсюда находим

$$F_z = \frac{1}{4a_1^2} \int_{-1}^1 \left[\sum_{n=0}^{\infty} C_n P_n(\mu) \right]^2 \mu d\mu, \quad (64)$$

где $C_0 = eq_1$,

$$C_n = -(2n+1) \left(\frac{a_1}{R} \right)^{n+1} \left[B_0 + \frac{(n+1)B_1}{R} \right],$$

$$n = 1, 2, \dots$$

После интегрирования (64) с использованием рекуррентных соотношений для полиномов Лежандра имеем

$$F_z = \frac{1}{a_1^2} \sum_{n=0}^{\infty} \frac{(n+1)C_n C_{n+1}}{(2n+1)(2n+3)}. \quad (65)$$

После интегрирования по R выражения (65) для энергии взаимодействия при постоянных зарядах с точностью до членов R^{-7} включительно получим

$$\begin{aligned} W &= \frac{e^2 q_1 q_2}{R} \left(1 + \frac{10}{3} v_1 v_2 \right) - \\ &\quad - \frac{e^2 q_1^2}{2R^2} \frac{a_2^3}{R^2 - a_2^2} - \frac{e^2 q_2^2}{2R^2} \frac{a_1^3}{R^2 - a_1^2}. \end{aligned} \quad (66)$$

На рис. 10, 11 представлены зависимости, вычисленные из формулы (66). Видно прекрасное согласие с точными расчетами в бисферических координатах

для частиц одного радиуса. При сильно различающихся размерах макрочастиц наблюдается расхождение при малых межчастичных расстояниях, а в области максимума и при больших расстояниях имеет место хорошее согласие. Отметим, что расхождение на рис. 11 между кривой 1 и точками 3, рассчитанными из выражения (66), по мере сближения макрочастиц монотонно растет и достигает 1% при $L = 0.2$ мкм, а максимум имеет место при $L \approx 0.8$ мкм.

Из системы (61) с учетом только нулевого и первого членов найдем заряды макрочастиц:

$$\begin{aligned} q_1 &= c_{11}\phi_{1s} + c_{12}\phi_{2s}, \\ q_2 &= c_{21}\phi_{1s} + c_{22}\phi_{2s}, \end{aligned} \quad (67)$$

где емкостные коэффициенты определены следующими соотношениями:

$$\begin{aligned} c_{11} &= \frac{a_1}{D_{01}} \left(1 - \frac{a_2 v_1}{R} - 4v_1 v_2 \right), \\ c_{22} &= \frac{a_2}{D_{01}} \left(1 - \frac{a_1 v_2}{R} - 4v_1 v_2 \right), \\ c_{12} &= c_{21} = -\frac{a_1 a_2}{R D_{01}} (1 - 2v_1 v_2). \end{aligned} \quad (68)$$

Здесь D_{01} — определитель системы (61) с усеченной суммой:

$$D_{01} = 1 - \frac{a_1 a_2}{R^2} \left(1 + \frac{a_1^2 + a_2^2}{R^2} + \frac{4a_1^2 a_2^2}{R^4} \right).$$

Теперь из (56) можно найти потенциальную энергию взаимодействия при постоянных потенциалах макрочастиц:

$$\begin{aligned} U_\varphi &= \frac{a_1 a_2}{R D_{01}} \left[-\frac{a_1}{2R} \left(1 + \frac{a_1^2}{R^2} \right) \phi_{10}^2 + \right. \\ &\quad \left. + (1 - 2v_1 v_2) \phi_{10} \phi_{20} - \frac{a_2}{2R} \left(1 + \frac{a_2^2}{R^2} \right) \phi_{20}^2 \right]. \end{aligned} \quad (69)$$

Вычисленные на основе (69) зависимости приведены на рис. 10, 11. Видно прекрасное согласие с точными расчетами в бисферических координатах (ошибка не превышает 1% для макрочастиц одного размера и 0.2% при сильно различающихся радиусах для $L \geq 10^{-6}$ мкм).

В работе [18] для потенциала взаимодействия методом изображений с учетом двух первых членов получено выражение

$$W = \frac{e^2 q_1 q_2}{R} - \frac{e^2 q_1^2}{2R^2} \frac{a_2^3}{R^2 - a_2^2} - \frac{e^2 q_2^2}{2R^2} \frac{a_1^3}{R^2 - a_1^2}, \quad (70)$$

которое, как видно на рис. 10, 11, дает близкую к (66) зависимость при сильно различающихся радиусах макрочастиц, но при близких радиусах хуже

согласуется с точными расчетами, чем (66). В работе [6] в качестве потенциала взаимодействия использовалось выражение, похожее на (70), но без двоек в знаменателях второго и третьего членов. Эта зависимость, как видно на рис. 10, 11, значительно хуже согласуется с точными расчетами.

5. ЗАКЛЮЧЕНИЕ

Проведенное в настоящей работе рассмотрение взаимодействия в плазме проводящего шара с точным зарядом с учетом эффектов экранирования показало, что при выполнении условия $k_D a_1 \ll 1$ потенциал взаимодействия на всех межчастичных расстояниях хорошо описывается потенциалом взаимодействия этих объектов в вакууме с заменой кулоновской части на ДЛФО-потенциал сферической макрочастицы, умноженный на заряд точечной макрочастицы, т. е. на потенциал Юкавы с перенормированным зарядом конечной частицы. Поэтому можно предположить, что потенциал взаимодействия двух проводящих шаров может быть рассчитан с хорошей точностью путем вычисления потенциала их взаимодействия в вакууме с последующей заменой кулоновской части взаимодействия на потенциал Юкавы с перенормированными зарядами макрочастиц. Из сопоставления выражений (21) и (66) при выполнении условий $k_D a_1 \ll 1$ и $k_D a_2 \ll 1$ в качестве потенциала взаимодействия макрочастиц в плазме для случая постоянных зарядов можно предложить выражение

$$\begin{aligned} U &= \frac{e^2 q_1 q_2 (1 + (10/3)v_1 v_2)}{R (1 + k_D a_1) (1 + k_D a_2)} e^{-k_D (R - a_1 - a_2)} - \\ &\quad - \frac{e^2 q_1^2}{2R^2} \frac{a_2^3}{R^2 - a_2^2} - \frac{e^2 q_2^2}{2R^2} \frac{a_1^3}{R^2 - a_1^2}. \end{aligned} \quad (71)$$

Представляет интерес задача о взаимодействии двух макрочастиц с учетом размерных эффектов в неравновесной плазме, где экранирование оказывается двухэкспоненциальным [19]. В работе [20] было проведено исследование взаимодействия двух точечных макрочастиц в такой плазме, а проблема влияния размера макрочастиц требует отдельного рассмотрения.

В настоящей работе также показано, что поляризация заряда не может приводить к притяжению одноименно заряженных частиц, находящихся на расстояниях, значительно превышающих их размеры, о чем сообщалось в работе [21]. Это позволяет заключить, что притяжение макрочастиц, обнаруженное в эксперименте в этой работе, обусловлено не электростатическими силами.

Работа выполнена при поддержке РФФИ (грант № 08-02-01324а) и аналитической ведомственной целевой программы «Развитие научного потенциала высшей школы (2009–2010 годы)», Мероприятие 2 (грант № 1063).

ЛИТЕРАТУРА

1. V. E. Fortov, A. V. Ivlev, S. A. Khrapak et al., Phys. Rep. **421**, 1 (2005).
2. O. Ishihara, J. Phys. D: Appl. Phys. **40**, R121 (2007).
3. U. Конопка, G. E. Morfill, and L. Ratke, Phys. Rev. Lett. **84**, 891 (2000).
4. G. A. Heibner, M. E. Riley, and K. E. Greenberg, Phys. Rev. E **66**, 046407 (2002).
5. O. S. Vaulina, O. F. Petrov, A. V. Gavrikov et al., Plasma Phys. Rep. **33**, 278 (2007).
6. A. V. Ivlev, G. E. Morfill, and U. Конопка, Phys. Rev. Lett. **89**, 195502 (2002).
7. А. М. Савельев, А. М. Старик, ЖЭТФ **135**, 369 (2009).
8. P. Debye and E. Hückel, Phys. Zeitschr. **24**, 185 (1923).
9. Г. Н. Ватсон, *Теория бесселевых функций*, Изд-во иностр. лит., Москва (1949), т. 1. [G. N. Watson, *A Treatise on the Theory of Bessel Functions*, Cambridge Univ. Press, London (1922)].
10. А. В. Филиппов, А. Ф. Паль, А. Н. Старостин и др., Письма в ЖЭТФ **83**, 640 (2006).
11. В. В. Батыгин, И. Н. Топтыгин, *Сборник задач по электродинамике*, Наука, Москва (1970).
12. В. Смайт, *Электростатика и электродинамика*, Изд-во иностр. лит., Москва (1954). [W. R. Smythe, *Static and Dynamic Electricity*, New York, Toronto, London (1950)].
13. Е. В. Гобсон, *Теория сферических и эллипсоидальных функций*, Изд-во иностр. лит., Москва (1952). [E. W. Hobson, *The Theory of Spherical and Ellipsoidal Harmonics*, Univ. Press, Cambridge (1931)].
14. Т. М. MacRobert, *Spherical Harmonics*, Methuen & Co. Ltd., London (1947).
15. В. А. Саранин, УФН **169**, 453 (1999).
16. В. А. Саранин, УФН **172**, 1449 (2002).
17. Е. А. Щерба, А. И. Григорьев, В. А. Коромыслов, ЖТФ **72**, 15 (2002).
18. D. D. Huang, J. H. Seinfeld, and K. Okuyama, J. Colloid Interf. Sci. **141**, 191 (1991).
19. А. В. Филиппов, А. Г. Загородний, А. И. Момот и др., ЖЭТФ **131**, 164 (2007).
20. А. В. Филиппов, А. Г. Загородний, А. И. Момот и др., ЖЭТФ **132**, 949 (2007).
21. Т. Antonova, B. M. Annaratone, D. D. Goldbeck et al., Phys. Rev. Lett. **96**, 115001 (2006).